

北海道大学	学生員	福田 敬大
同上	正会員	菅原 照雄
同上	正会員	姫野 賢治
北海道工業大学	正会員	笠原 篤

1. まえがき

最近わが国ではローラー転圧コンクリート舗装（以下RCCPという）が注目されてきており、第三の舗装とも言われている。RCCPの特徴として、早期に交通開放ができること、通常のアスファルト舗装用機械で舗設できるため経済的であることがあげられるが、配合設計、構造設計、施工管理などの面で技術的な問題を抱えていることも事実である。そのため国内各地をはじめ各国でその試験施工、研究が行われている。

本研究ではRCCPの構造設計に不可欠な因子であるローラー転圧コンクリート（以下RCCという）層、路盤、路床の現地での弾性係数をFWD (Falling Weight Deflectometer) たわみデータをもとにして、多層弾性舗装構造解析プログラムELSA¹⁾を組み合わせた逆解析プログラムを用いて推定し、切取り供試体を用いた室内実験の結果と比較した。

2. 試験施工

平成元年9～10月に札幌市建設局手稲土木事業所構内においてRCCPの試験舗装（幅員13m、延長120m）が建設された。それはRCCの配合、舗装の構造を変化させた6つの区間からなり5、10、15、30m間隔にそれぞれ4本の目地を切ってある。RCCの配合、RCCPの構造をTable 1、Fig. 1に示す。配合1は標準的粒度で普通セメントを、配合2は標準的粒度で高炉セメント（B種）を、また、配合3は米国陸軍工兵隊の指針に準拠した細かめの粒度でフライアッシュセメント（普通セメント：フライアッシュ=80:20で別計量）を使用した。

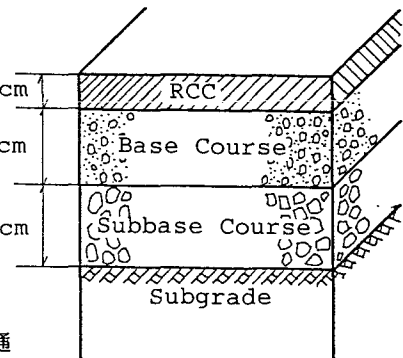


Fig. 1 Pavement Structures

3. たわみ測定

現場では各試験区間ごとに、路床の施工後からRCCP打設後材令1ヶ月まで荷重約5,000kgfにてFWDを用いてたわみ測定を行った。ただし路床上ではセンサーの測定範囲を超えないよう荷重を約2000kgfにして測定した。測定箇所は目地の影響がないような地点を

Table 1 Specified Mix Formula

配合	粗骨材 の最大 寸 mm	細骨 材 率 s/a %	水 t シット w/c %	単 粗 骨 材 積 %	単位量(kg/cm ³)					セメント 比 C %	含水 比 W %
					水 W	セメ ント C	細骨 材 S	粗骨 材 G	混和 剤		
1	20	44.1	31.8	0.77	85	300	956	1171	1.20	12.6	6.1
2	20	44.1	33.1	0.77	99	300	948	1163	1.20	12.7	6.3
3	20	49.3	35.7	0.68	107	300	1032	1036	1.20	12.9	6.7

備考

- 1) 設計基準曲げ強度 = 45kgf/cm²
- 2) コンシスティンシー評価法 = 突固め試験
- 3) セメントの単位量 = 300kg/m³
- 4) 混和剤の種類 = A E 剤
- 5) 運搬時間 = 20分

選び、たわみセンサーは載荷板中心から0, 30, 60, 90, 120, 200cm離れた位置に設置した。

Table 2 はRCCの配合を変えて施工した各区間において、材令ごとに、20点でのたわみ測定結果を示したものである。PはFWDによる20地点のたわみ測定における荷重の平均値、たわみ(D_0 、 D_{30} 、 D_{60} 、 D_{90} 、 D_{120} 、 D_{200})は20回測定におけるその区間の平均値である。

3. 切取り供試体の試験結果

Table 3 に切取り供試体の試験結果を示す。切取り供試体は直径10cmに対し高さが12~13cmしかないため、圧縮強度はJIS A1107の補正係数をさらに補完して直径の2倍の高さの供試体強度に換算して推定した。動弾性係数はASTMC-597コンクリート中のパルス試験方法に準拠してパンジット法により求めた。供試体の径長比が小さく、ひずみ測定が困難なため静弾性係数は測定できなかった。

圧縮強度、曲げ強度は材令と共に増大し、普通セメントを用いた配合1の強度が最も高かった。これは高炉セメント、フライアッシュセメントを用いた配合2および3のRCCは強度の発現が普通セメントに比べ遅いためと考えられ、長期材令においては普通セメントと同等の強度を持つことも予想され、91日強度の試験結果によってその特徴がより明らかになるものと考えられる。動弾性係数は配合1において材令と共に増加の傾向が見られるが、配合2および3においては大きな変化は見られなかった。

Table 2 Measured Deflections

配合	荷重 (kgf)	P	路床	路盤	材令							
					1日	2日	3日	4日	5日	7日	1ヶ月	
1	たわみ (mm)	D_0	1.781	1.472	0.326	0.310	0.299	0.292	0.286	0.268	0.238	0.225
	D_{30}	0.014	0.555	0.270	0.253	0.248	0.244	0.244	0.242	0.233	0.225	
	D_{60}	0.008	0.251	0.200	0.195	0.189	0.187	0.187	0.183	0.174	0.172	
	D_{90}	0.007	0.192	0.156	0.158	0.153	0.151	0.151	0.150	0.145	0.145	
	D_{120}	0.003	0.137	0.116	0.119	0.115	0.114	0.114	0.114	0.111	0.111	
	D_{200}	0.006	0.076	0.056	0.058	0.057	0.057	0.057	0.056	0.056	0.056	
2	たわみ (mm)	D_0	2.083	4.987	5.002	5.029	5.008	5.008	5.022	5.010	4.997	
	D_{30}	0.014	0.554	0.261	0.248	0.246	0.246	0.246	0.242	0.233	0.225	
	D_{60}	0.008	0.255	0.194	0.187	0.185	0.185	0.185	0.182	0.176	0.172	
	D_{90}	0.007	0.189	0.153	0.149	0.149	0.149	0.149	0.146	0.143	0.141	
	D_{120}	0.003	0.138	0.113	0.112	0.112	0.112	0.112	0.110	0.108	0.107	
	D_{200}	0.006	0.076	0.054	0.054	0.054	0.054	0.054	0.053	0.052	0.052	
3	たわみ (mm)	D_0	1.781	1.500	0.392	0.349	0.336	0.336	0.321	0.311	0.296	
	D_{30}	0.014	0.574	0.314	0.286	0.276	0.276	0.276	0.267	0.257	0.247	
	D_{60}	0.008	0.279	0.227	0.212	0.207	0.207	0.207	0.201	0.195	0.190	
	D_{90}	0.007	0.205	0.174	0.167	0.165	0.165	0.165	0.161	0.158	0.155	
	D_{120}	0.003	0.152	0.127	0.123	0.122	0.122	0.122	0.121	0.120	0.118	
	D_{200}	0.006	0.080	0.061	0.061	0.060	0.060	0.060	0.058	0.057	0.057	

Table 3 Results of Tests in Laboratory

配合	材令	3日			7日			28日			
		圧縮強度 (kg/cm ²)	曲げ強度 (kg/cm ²)	単位体積重量 (t/m ³)	動弾性係数 (kgf/cm ²) × 10 ³	200	237	281	321	311	296
1	たわみ (mm)	D_0	2.40	2.40	343	2.40	2.38	2.36	2.42	2.33	2.47
	D_{30}	3.43	3.43	417	3.43	3.43	3.43	3.43	3.43	3.43	3.43
	D_{60}	2.44	2.44	362	2.44	2.44	2.44	2.44	2.44	2.44	2.44
	D_{90}	2.34	2.34	341	2.34	2.33	2.34	2.34	2.34	2.34	2.34
2	たわみ (mm)	D_0	2.34	2.34	344	1.26	1.56	1.85	1.26	1.56	1.85
	D_{30}	3.44	3.44	362	2.4	2.9	3.8	2.4	2.9	3.8	3.8
	D_{60}	2.34	2.34	341	2.34	2.36	2.32	2.34	2.34	2.32	2.32
	D_{90}	2.34	2.34	362	3.44	3.62	3.59	3.44	3.62	3.59	3.59
3	たわみ (mm)	D_0	2.34	2.34	362	1.87	1.82	2.45	1.87	1.82	2.45
	D_{30}	3.62	3.62	341	3.2	2.2	4.7	3.2	2.2	4.7	4.7
	D_{60}	2.34	2.34	341	2.34	2.33	2.34	2.34	2.34	2.34	2.34
	D_{90}	2.34	2.34	362	3.62	3.41	3.82	3.62	3.41	3.82	3.82

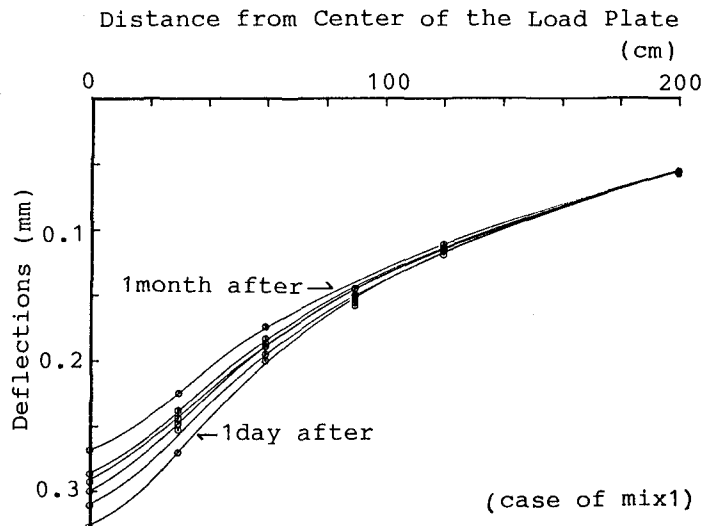


Fig.2 Changes of Measured Deflections

4. 弹性係数の推定法

Fig. 2 に配合 2 のたわみ測定値の時間的変化を示した。これによると D_{200} の値はほとんど変化がない。また逆に E L S A を用いた感度分析結果によると R C C、路盤の弾性係数の変化に対し D_{200} の変化は小さく、 D_{200} の値は路床の弾性係数によって決定されることがわかった²⁾。そこで本研究では E L S A によって弾性係数の概略値を求め、それを初期値とし D_{200} の値に注目してまず路床の弾性係数のみを逆解析プログラムによって決定し、次に路床の弾性係数を固定して R C C、路盤の弾性係数を推定した。このようにして求められた全層の弾性係数を用いて改めて全体的な逆解析を行って最終的な弾性係数とした。

5. 逆解析の結果

Table 4 に弾性係数の逆解析の結果を示す。どの配合においてもたわみ測定における D_{200} がほぼ一定の値だったため路床の弾性係数もほぼ同じ推定値となった。R C C の弾性係数は材令と共に微増の傾向があり、配合 1 の推定値が大きいことは室内試験の結果と一致している。さらに上層路盤の弾性係数も増大しているが、これは路盤のような粒状材料は非弾性体の性質から、たわみ量が小さくなると見かけの弾性係数が増大するためと考えられる。

Fig. 3 には配合 2、材令 3 日の R C C 層から推定した弾性係数を E L S A に入力して計算した理論たわみと F W D による実測たわみの比較を示す。両者はよく一致しており、解が正しく求まっていると言えるがこれが唯一解である保証はない。

また E L S A を用いて R C C 層の底部に発生する曲げ応力を求め、室内試験から得られた曲げ強度と比較したもののが **Table 5** に示す。条件はデュアルタイヤ、車輪間隔 32.5cm、輪荷重 2,500kgf × 2、接地半径 15.0 cm と仮定した。これによると R C C

Table 4 List of Analyzed Elastic Moduli of Each Layers

配合	材令	層としての弾性係数 (kgf/cm ²)			路床
		R C C 上層路盤	下層路盤		
1	3 日	1.01×10^5	7.18×10^3	4.71×10^2	1.21×10^3
	7 日	1.02×10^5	8.36×10^3	4.55×10^2	1.24×10^3
	1 ヶ月	1.16×10^5	9.14×10^3	4.96×10^2	1.24×10^3
2	3 日	9.10×10^4	7.42×10^3	4.56×10^2	1.27×10^3
	7 日	9.74×10^4	7.91×10^3	4.81×10^2	1.33×10^3
	1 ヶ月	1.02×10^5	9.01×10^3	4.63×10^2	1.34×10^3
3	3 日	8.76×10^4	5.89×10^3	4.40×10^2	1.15×10^3
	7 日	8.77×10^4	7.54×10^3	4.12×10^2	1.21×10^3
	1 ヶ月	1.02×10^5	7.85×10^3	4.23×10^2	1.21×10^3

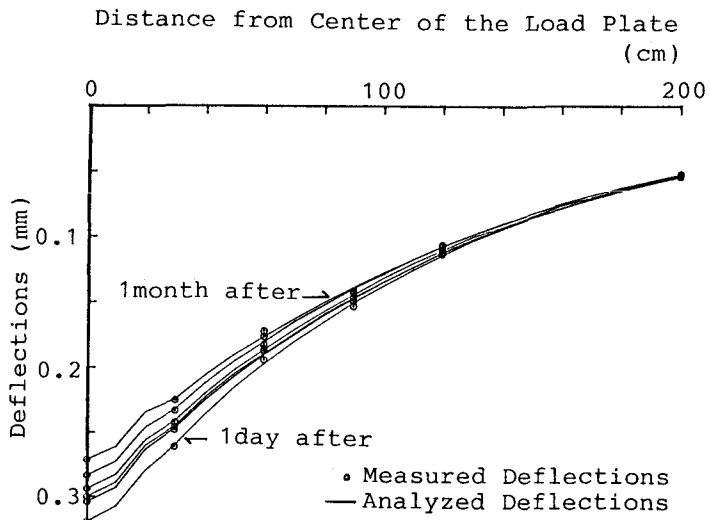


Fig.3 Comparisons of Analyzed and Measured Deflections (case of mix2)

Table 5 Comparisons of Analyzed Bending Stress and Measured Bending Strength

配合	材令	推定曲げ応力 σ_1 (kgf/cm ²)	実験値 σ_2 (kgf/cm ²)	$\sigma_1 / \sigma_2 (\%)$
1	3 日	5.2	32	16.3
	7 日	4.8	38	12.6
	1 ヶ月	4.9	52	9.4
2	3 日	4.7	24	19.6
	7 日	4.8	29	16.6
	1 ヶ月	4.5	38	11.8
3	3 日	5.4	32	16.8
	7 日	4.6	22	20.9
	1 ヶ月	5.0	47	10.6

層に発生する曲げ応力は施工後わずか3日後でも曲げ強度の16~20%程度しか発生せず、RCCPの長所である早期交通開放が可能であることを裏付けている。また施工1ヶ月後にはどの配合も曲げ応力は曲げ強度の10%程度になった。

7. あとがき

本研究では室内試験に対応させ施工後3日、7日、1ヶ月のRCCの弾性係数を推定しただけにとどましたが、今後さらにより詳細に、かつより長期間にわたって時系列的変化を追っていく予定で、これによりRCCの弾性係数の特性が明らかになっていくものと考えている。そのためにはより安定した逆解析法の開発も必要である。

最後に本研究を遂行するにあたり、室内試験を行って頂いた、北海道電力株式会社総合研究所の方々に厚く感謝の意を表する。

参考文献

- 1) 姫野ほか：パソコン用多層弾性構造解析プログラム（ELSA）の開発、第18回日本道路会議一般論文集、pp. 338-339、1989
- 2) 丸山ほか：FWDによる舗装の非破壊試験に関する研究、長岡技術科学大学研究報告、第10号、pp. 119-127、1989
- 3) 笠原ほか：舗装構造解析へのフォーリング・ウェイト・デフレクトメータの利用（第5報）土木学会第44回講演概要集第5部、1989.10